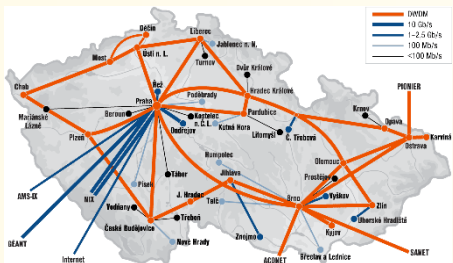


# 6 Orientované grafy, Toky v sítích

Nyní se budeme zabývat typem **síťových úloh**, ve kterých není podstatná délka hran a spojení, nýbrž jejich **propustnost** (jako potrubní nebo počítačové sítě).

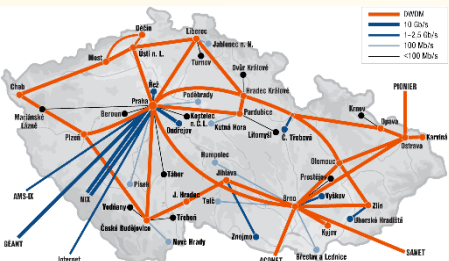
Základní úlohou v této oblasti je problém nalezení **maximálního toku** v síti za podmínky respektování daných kapacit hran.



# 6 Orientované grafy, Toky v sítích

Nyní se budeme zabývat typem **síťových úloh**, ve kterých není podstatná délka hran a spojení, nýbrž jejich **propustnost** (jako potrubní nebo počítačové sítě).

Základní úlohou v této oblasti je problém nalezení **maximálního toku** v síti za podmínky respektování daných kapacit hran.

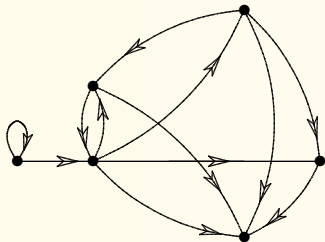


## Stručný přehled lekce

- \* Definice a některé základní vlastnosti orientovaných grafů, souvislost.
- \* Sítě s kapacitami hran, hledání maximálního toku a dualita.
- \* Důsledky duality toku; vyšší souvislost, bipartitní párování, SRR.

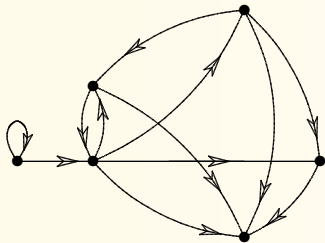
## 6.1 Základní pojmy orientovaných grafů

Požadavek explicitně vyjádřit **směr hrany** přirozeně vede na následující definici orientovaného grafu, ve kterém hrany jsou **uspořádané** dvojice vrcholů.



## 6.1 Základní pojmy orientovaných grafů

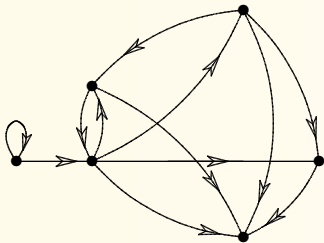
Požadavek explicitně vyjádřit **směr hrany** přirozeně vede na následující definici orientovaného grafu, ve kterém hrany jsou **uspořádané** dvojice vrcholů.



**Definice 6.1.** Orientovaný graf je uspoř. dvojice  $D = (V, E)$ , kde  $E \subseteq V \times V$ .

## 6.1 Základní pojmy orientovaných grafů

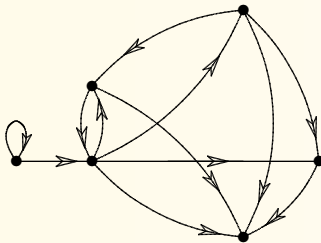
Požadavek explicitně vyjádřit **směr hrany** přirozeně vede na následující definici orientovaného grafu, ve kterém hrany jsou **uspořádané** dvojice vrcholů.



**Definice 6.1. Orientovaný graf** je uspoř. dvojice  $D = (V, E)$ , kde  $E \subseteq V \times V$ .  
Pojmy *podgrafu* a *isomorfismu* se přirozeně přenášejí na orientované grafy.

## 6.1 Základní pojmy orientovaných grafů

Požadavek explicitně vyjádřit **směr hrany** přirozeně vede na následující definici orientovaného grafu, ve kterém hrany jsou **uspořádané** dvojice vrcholů.



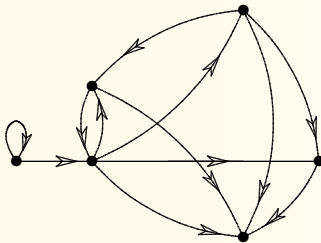
**Definice 6.1.** Orientovaný graf je uspoř. dvojice  $D = (V, E)$ , kde  $E \subseteq V \times V$ . Pojmy *podgrafu* a *isomorfismu* se přirozeně přenášejí na orientované grafy.

**Značení:** Hrana  $(u, v)$  (zvaná také **šipka**) v orientovaném grafu  $D$  začíná ve vrcholu  $u$  a končí ve (míří do) vrcholu  $v$ . Opačná hrana  $(v, u)$  je různá od  $(u, v)$ .

Speciálně hrana tvaru  $(u, u)$  se nazývá **orientovaná smyčka**.

## 6.1 Základní pojmy orientovaných grafů

Požadavek explicitně vyjádřit **směr hrany** přirozeně vede na následující definici orientovaného grafu, ve kterém hrany jsou **uspořádané** dvojice vrcholů.



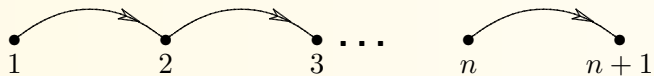
**Definice 6.1.** Orientovaný graf je uspoř. dvojice  $D = (V, E)$ , kde  $E \subseteq V \times V$ . Pojmy *podgrafu* a *isomorfismu* se přirozeně přenášejí na orientované grafy.

**Značení:** Hrana  $(u, v)$  (zvaná také **šipka**) v orientovaném grafu  $D$  začíná ve vrcholu  $u$  a končí ve (míří do) vrcholu  $v$ . Opačná hrana  $(v, u)$  je různá od  $(u, v)$ .

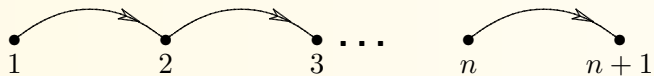
Speciálně hrana tvaru  $(u, u)$  se nazývá **orientovaná smyčka**.

Orientované grafy odpovídají relacím, které nemusí být symetrické.

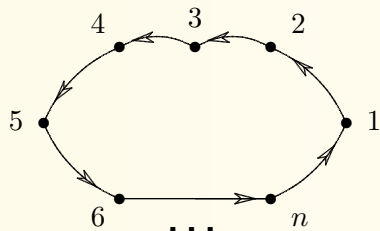
- Orientovaná cesta délky  $n \geq 0$  je následujícím grafem na  $n+1$  vrcholech



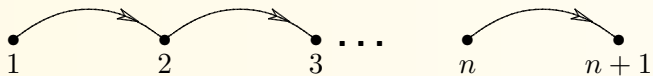
- Orientovaná cesta délky  $n \geq 0$  je následujícím grafem na  $n+1$  vrcholech



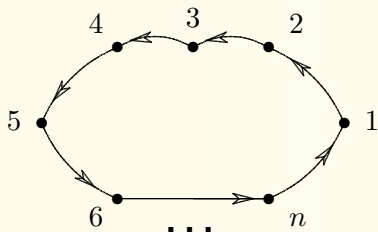
- a orientovaná kružnice (také cyklus) délky  $n \geq 1$  vypadá takto:



- Orientovaná cesta délky  $n \geq 0$  je následujícím grafem na  $n+1$  vrcholech



- a orientovaná kružnice (také cyklus) délky  $n \geq 1$  vypadá takto:



**Definice:** Počet hran začínajících ve vrcholu  $u$  orientovaného grafu  $D$  nazveme **výstupním stupněm**  $d_D^+(u)$  a počet hran končících v  $u$  nazveme **vstupním stupněm**  $d_D^-(u)$ .

Součet všech výstupních stupňů je přirozeně roven součtu všech vstupních stupňů.

## Souvislost na orientovaných grafech

Uvedeme si odstupňovaně tři základní pohledy:

- **Slabá souvislost.** Jedná se o tradiční *souvislost na symetrizaci* grafu  $D$  (tj. po „zapomenutí“ směru šipek).



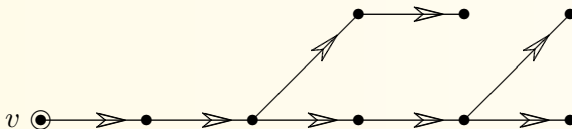
## Souvislost na orientovaných grafech

Uvedeme si odstupňovaně tři základní pohledy:

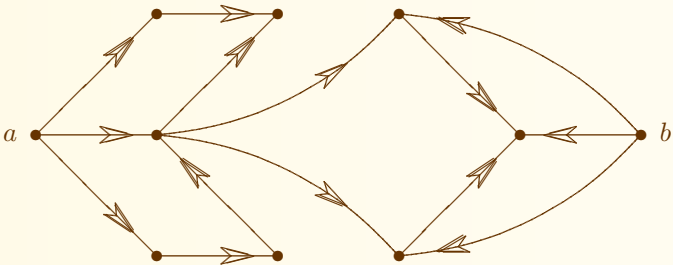
- **Slabá souvislost.** Jedná se o tradiční *souvislost na symetrizaci* grafu  $D$  (tj. po „zapomenutí“ směru šipek).



- **Dosažitelnost (směrem „ven“).** Orientovaný graf  $D$  je *dosažitelný směrem ven*, pokud v něm existuje vrchol  $v \in V(D)$  takový, že každý vrchol  $x \in V(D)$  je dosažitelný orientovaným sledem z  $v$ .



Podrobným zkoumáním následujícího obrázku zjistíme, že jeho graf není dosažitelný směrem ven, neboť chybí možnost dosáhnout vrchol  $b$  úplně vpravo. Na druhou stranu po vypuštění  $b$  je zbylý graf dosažitelný ven z vrcholu  $a$  vlevo.

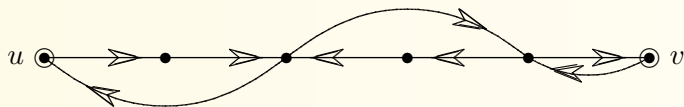


## Souvislost na orientovaných grafech, silná

- **Silná souvislost.** Nechť  $\approx$  je binární relace na vrcholové množině  $V(D)$  orientovaného grafu  $D$  taková, že
  - \*  $u \approx v$  právě když existuje dvojice orientovaných cest – jedna z  $u$  do  $v$  a druhá z  $v$  do  $u$  v grafu  $D$ .

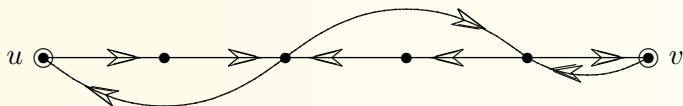
## Souvislost na orientovaných grafech, silná

- **Silná souvislost.** Nechť  $\approx$  je binární relace na vrcholové množině  $V(D)$  orientovaného grafu  $D$  taková, že
  - \*  $u \approx v$  právě když existuje dvojice orientovaných cest – jedna z  $u$  do  $v$  a druhá z  $v$  do  $u$  v grafu  $D$ .Pak  $\approx$  je **relace ekvivalence**.



## Souvislost na orientovaných grafech, silná

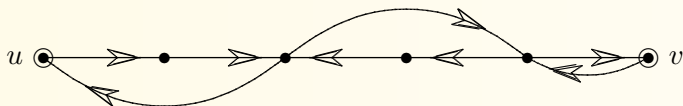
- **Silná souvislost.** Nechť  $\approx$  je binární relace na vrcholové množině  $V(D)$  orientovaného grafu  $D$  taková, že
  - \*  $u \approx v$  právě když existuje dvojice orientovaných cest – jedna z  $u$  do  $v$  a druhá z  $v$  do  $u$  v grafu  $D$ .Pak  $\approx$  je **relace ekvivalence**.



**Definice 6.2. Silné komponenty** orientovaného grafu  $D$  jsou třídy ekvivalence relace  $\approx$  uvedené v předchozím.

## Souvislost na orientovaných grafech, silná

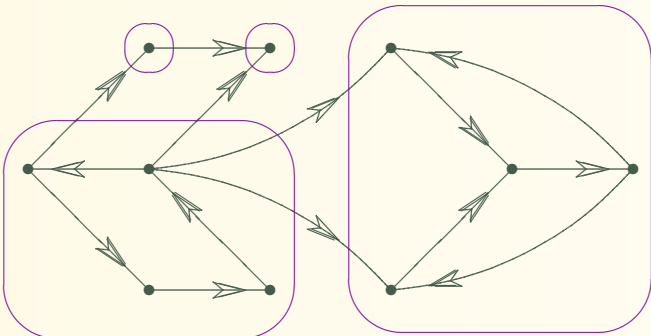
- **Silná souvislost.** Nechť  $\approx$  je binární relace na vrcholové množině  $V(D)$  orientovaného grafu  $D$  taková, že
  - \*  $u \approx v$  právě když existuje dvojice orientovaných cest – jedna z  $u$  do  $v$  a druhá z  $v$  do  $u$  v grafu  $D$ .Pak  $\approx$  je **relace ekvivalence**.



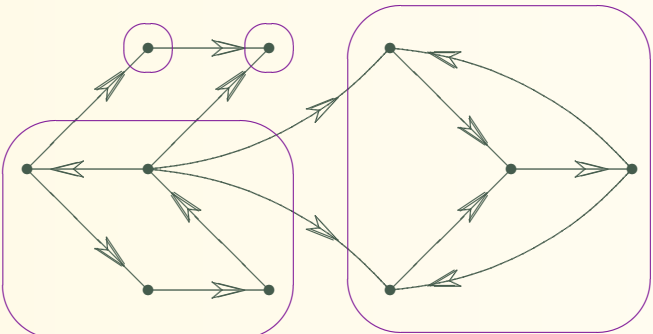
**Definice 6.2. Silné komponenty** orientovaného grafu  $D$  jsou třídy ekvivalence relace  $\approx$  uvedené v předchozím.

Orientovaný graf  $D$  je **silně souvislý** pokud má nejvýše jednu silnou komponentu.

Pro ilustraci si mírně upravíme dříve prezentovaný orientovaný graf tak, že bude dosažitelný z nejlevějšího vrcholu. Je výsledek silně souvislý?

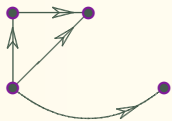


Pro ilustraci si mírně upravíme dříve prezentovaný orientovaný graf tak, že bude dosažitelný z nejlevějšího vrcholu. Je výsledek silně souvislý?



Ne, na obrázku jsou vyznačené jeho 4 silné komponenty.

Zároveň uvádíme pro ilustraci obrázek **kondenzace** silných komponent tohoto grafu, což je acyklický orientovaný graf s vrcholy reprezentujícími zmíněné silné komponenty a směry hran mezi nimi.



## 6.2 Definice sítě a toku

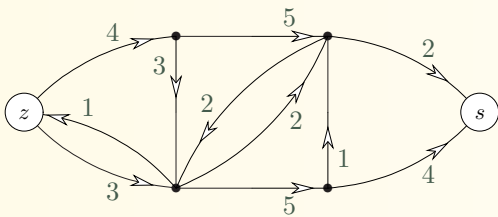
Základní strukturou pro reprezentaci sítí je **vážený orientovaný graf** (přičemž implicitní směr hran je v tomto kontextu nezbytný).

## 6.2 Definice sítě a toku

Základní strukturou pro reprezentaci sítí je **vážený orientovaný graf** (přičemž implicitní směr hran je v tomto kontextu nezbytný).

**Definice 6.3.** **Síť** je čtveřice  $S = (D, z, s, w)$ , kde

- \*  $D$  je orientovaný graf,
- \* vrcholy  $z \in V(D)$ ,  $s \in V(D)$  jsou **zdroj** a **stok**,
- \*  $w : E(D) \rightarrow \mathbb{R}^+$  je kladné ohodnocení hran, zvané **kapacita hran**.

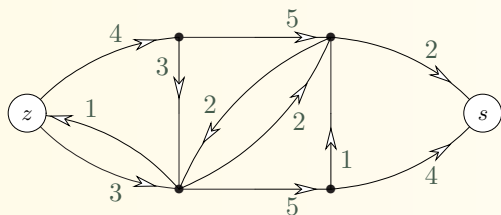


## 6.2 Definice sítě a toku

Základní strukturou pro reprezentaci sítí je **vážený orientovaný graf** (přičemž implicitní směr hran je v tomto kontextu nezbytný).

**Definice 6.3.** **Síť** je čtveřice  $S = (D, z, s, w)$ , kde

- \*  $D$  je orientovaný graf,
- \* vrcholy  $z \in V(D)$ ,  $s \in V(D)$  jsou **zdroj** a **stok**,
- \*  $w : E(D) \rightarrow \mathbb{R}^+$  je kladné ohodnocení hran, zvané **kapacita hran**.



**Poznámka:** V praxi může být zdrojů a stoků více, ale v definici stačí pouze jeden zdroj a stok, z něhož / do nějž vedou hrany do ostatních zdrojů / stoků. (Dokonce pak různé zdroje a stoky mohou mít své kapacity.)

## Velikost toku v síti

**Značení:** Pro jednoduchost píšeme ve výrazech značku  $e \rightarrow v$  pro hranu  $e$  končící ve vrcholu  $v$  a  $e \leftarrow v$  pro hranu  $e$  začínající z  $v$ .

## Velikost toku v síti

**Značení:** Pro jednoduchost píšeme ve výrazech značku  $e \rightarrow v$  pro hranu  $e$  končící ve vrcholu  $v$  a  $e \leftarrow v$  pro hranu  $e$  začínající z  $v$ .

**Definice 6.4. Tok v síti**  $S = (D, z, s, w)$  je funkce  $f : E(D) \rightarrow \mathbb{R}_0^+$  splňující

- \*  $\forall e \in E(D) : 0 \leq f(e) \leq w(e),$  (respektování kapacity)
- \*  $\forall v \in V(D), v \neq z, s : \sum_{e \rightarrow v} f(e) = \sum_{e \leftarrow v} f(e).$  (zachování substance)

## Velikost toku v síti

**Značení:** Pro jednoduchost píšeme ve výrazech značku  $e \rightarrow v$  pro hranu  $e$  končící ve vrcholu  $v$  a  $e \leftarrow v$  pro hranu  $e$  začínající z  $v$ .

**Definice 6.4. Tok v síti**  $S = (D, z, s, w)$  je funkce  $f : E(D) \rightarrow \mathbb{R}_0^+$  splňující

- \*  $\forall e \in E(D) : 0 \leq f(e) \leq w(e),$  (respektování kapacity)
- \*  $\forall v \in V(D), v \neq z, s : \sum_{e \rightarrow v} f(e) = \sum_{e \leftarrow v} f(e).$  (zachování substance)

**Velikost toku**  $f$  je dána výrazem  $\|f\| = \sum_{e \leftarrow z} f(e) - \sum_{e \rightarrow z} f(e).$

## Velikost toku v síti

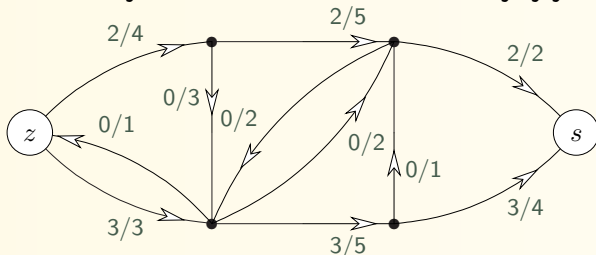
**Značení:** Pro jednoduchost píšeme ve výrazech značku  $e \rightarrow v$  pro hranu  $e$  končící ve vrcholu  $v$  a  $e \leftarrow v$  pro hranu  $e$  začínající z  $v$ .

**Definice 6.4. Tok v síti**  $S = (D, z, s, w)$  je funkce  $f : E(D) \rightarrow \mathbb{R}_0^+$  splňující

- \*  $\forall e \in E(D) : 0 \leq f(e) \leq w(e)$ , (respektování kapacity)
- \*  $\forall v \in V(D), v \neq z, s : \sum_{e \rightarrow v} f(e) = \sum_{e \leftarrow v} f(e)$ . (zachování substance)

**Velikost toku**  $f$  je dána výrazem  $\|f\| = \sum_{e \leftarrow z} f(e) - \sum_{e \rightarrow z} f(e)$ .

**Značení:** Tok a kapacitu hran v obrázku sítě budeme zjednodušeně zapisovat ve formátu  $F/C$ , kde  $F$  je hodnota toku na hraně a  $C$  je její kapacita.



### 6.3 Nalezení maximálního toku

Naším úkolem je najít co největší přípustný tok v dané síti. Pro jeho nalezení existují jednoduché a velmi rychlé algoritmy.

**Definice 6.5.** **Úloha hledání maximálního toku** v síti  $S = (D, z, s, w)$ .

Úkolem je v síti  $S$  najít tok  $f$  ze zdroje  $z$  do stoku  $s$  podle Definice 9.4 takový, který maximalizuje velikost  $\|f\|$ .

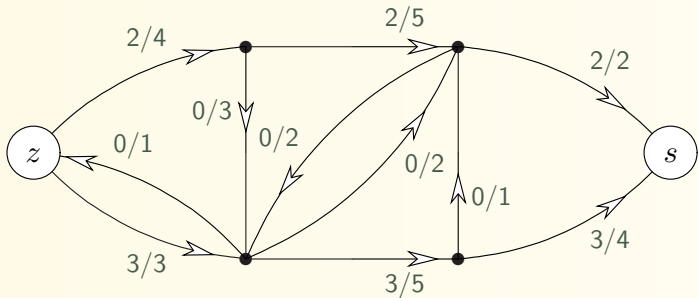
### 6.3 Nalezení maximálního toku

Naším úkolem je najít co největší přípustný tok v dané síti. Pro jeho nalezení existují jednoduché a velmi rychlé algoritmy.

**Definice 6.5.** **Úloha hledání maximálního toku** v síti  $S = (D, z, s, w)$ .

Úkolem je v síti  $S$  najít tok  $f$  ze zdroje  $z$  do stoku  $s$  podle Definice 9.4 takový, který maximalizuje velikost  $\|f\|$ .

Tok velikosti 5 uvedený v ukázce v předchozí části nebyl optimální, neboť v této síti najdeme i tok velikosti 6:



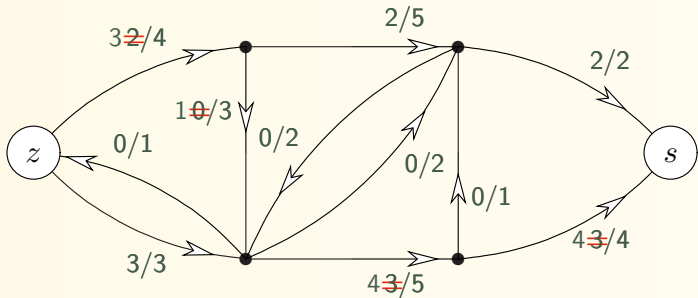
### 6.3 Nalezení maximálního toku

Naším úkolem je najít co největší přípustný tok v dané síti. Pro jeho nalezení existují jednoduché a velmi rychlé algoritmy.

**Definice 6.5.** **Úloha hledání maximálního toku** v síti  $S = (D, z, s, w)$ .

Úkolem je v síti  $S$  najít tok  $f$  ze zdroje  $z$  do stoku  $s$  podle Definice 9.4 takový, který maximalizuje velikost  $\|f\|$ .

Tok velikosti 5 uvedený v ukázce v předchozí části nebyl optimální, neboť v této síti najdeme i tok velikosti 6:



Jak však poznáme, že větší tok již v dané síti neexistuje?

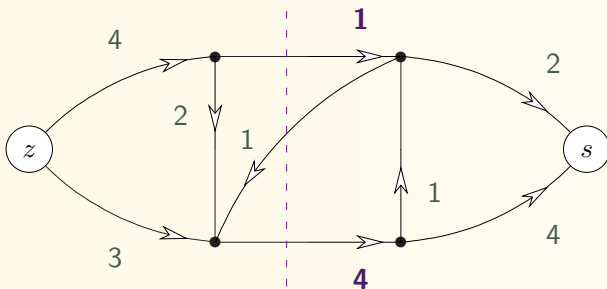
## Pojem řezu v síti

**Definice 6.6. Řez v síti**  $S = (D, z, s, w)$  je podmnožina hran  $X \subseteq E(D)$  taková, že v podgrafu  $D - X$  (tj. po odebrání hran  $X$  z  $D$ ) nezbude žádná orientovaná cesta ze  $z$  do  $s$ .

## Pojem řezu v síti

**Definice 6.6. Řez v síti**  $S = (D, z, s, w)$  je podmnožina hran  $X \subseteq E(D)$  taková, že v podgrafu  $D - X$  (tj. po odebrání hran  $X$  z  $D$ ) nezbude žádná orientovaná cesta ze  $z$  do  $s$ .

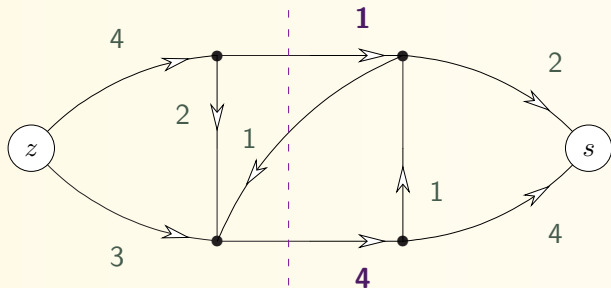
**Velikostí řezu**  $X$  rozumíme součet kapacit hran z  $X$ , tj.  $\|X\| = \sum_{e \in X} w(e)$ .



## Pojem řezu v síti

**Definice 6.6. Řez v síti**  $S = (D, z, s, w)$  je podmnožina hran  $X \subseteq E(D)$  taková, že v podgrafu  $D - X$  (tj. po odebrání hran  $X$  z  $D$ ) nezbude žádná orientovaná cesta ze  $z$  do  $s$ .

**Velikostí řezu**  $X$  rozumíme součet kapacit hran z  $X$ , tj.  $\|X\| = \sum_{e \in X} w(e)$ .

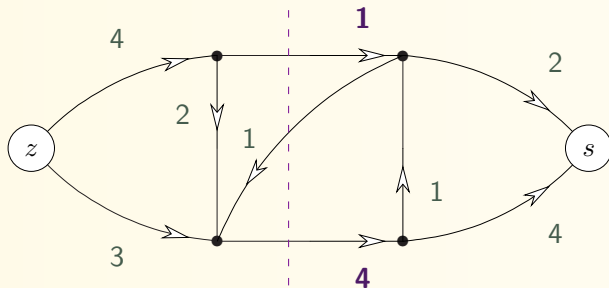


**Věta 6.7.** Maximální velikost toku v síti je rovna minimální velikosti řezu.

## Pojem řezu v síti

**Definice 6.6. Řez v síti**  $S = (D, z, s, w)$  je podmnožina hran  $X \subseteq E(D)$  taková, že v podgrafu  $D - X$  (tj. po odebrání hran  $X$  z  $D$ ) nezbude žádná orientovaná cesta ze  $z$  do  $s$ .

**Velikostí řezu**  $X$  rozumíme součet kapacit hran z  $X$ , tj.  $\|X\| = \sum_{e \in X} w(e)$ .



**Věta 6.7.** Maximální velikost toku v síti je rovna minimální velikosti řezu.

V uvedeném obrázku nalezneme tok velikosti 5. Vyznačený řez má také velikost 5.

## Nenasycené cesty v síti

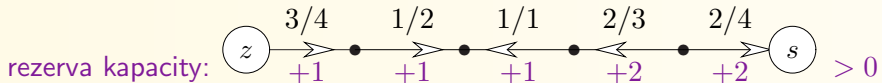
**Definice:** Mějme síť  $S$  a v ní tok  $f$ . *Nenasycená cesta*  $P$  (v  $S$  vzhledem k  $f$ )

- \* je neorientovaná cesta v  $D$  mezi určenými vrcholy (obvykle ze  $z$  do  $s$ ),  
tj. posloupnost navazujících libovolně orientovaných hran  $e_1, e_2, \dots, e_m$ ,

## Nenasycené cesty v síti

**Definice:** Mějme síť  $S$  a v ní tok  $f$ . *Nenasycená cesta*  $P$  (v  $S$  vzhledem k  $f$ )

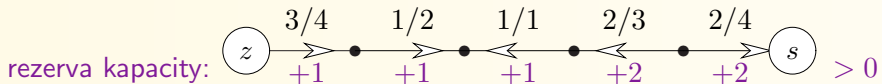
- \* je neorientovaná cesta v  $D$  mezi určenými vrcholy (obvykle ze  $z$  do  $s$ ), tj. posloupnost navazujících libovolně orientovaných hran  $e_1, e_2, \dots, e_m$ ,
- \* kde  $f(e_i) < w(e_i)$  pro  $e_i$  ve směru ze  $z$  do  $s$  a  $f(e_j) > 0$  pro  $e_j$  jinak.



## Nenasycené cesty v síti

**Definice:** Mějme síť  $S$  a v ní tok  $f$ . *Nenasycená cesta*  $P$  (v  $S$  vzhledem k  $f$ )

- \* je neorientovaná cesta v  $D$  mezi určenými vrcholy (obvykle ze  $z$  do  $s$ ), tj. posloupnost navazujících libovolně orientovaných hran  $e_1, e_2, \dots, e_m$ ,
- \* kde  $f(e_i) < w(e_i)$  pro  $e_i$  ve směru ze  $z$  do  $s$  a  $f(e_j) > 0$  pro  $e_j$  jinak.

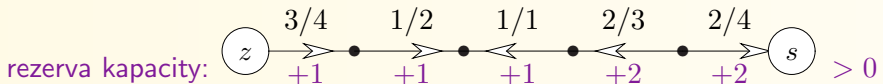


- \* Hodnotě  $w(e_i) - f(e_i) > 0$  pro hrany  $e_i$  ve směru z  $u$  do  $v$  a hodnotě  $f(e_j) > 0$  pro hrany  $e_j$  v opačném směru říkáme *rezerva kapacity* hran.

Nenasycená cesta je tudiž cesta s kladnými rezervami kapacit všech hran.

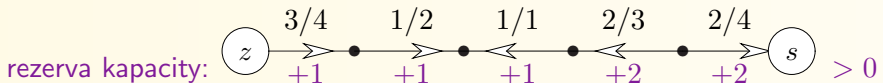
## Metoda 6.8. Maximální tok vylepšováním nenasycených cest.

Základní myšlenkou této jednoduché metody hledání maximálního toku v dané síti je prostě opakovaně vylepšovat tok podél nalezených nenasycených cest.



## Metoda 6.8. Maximální tok vylepšováním nenasycených cest.

Základní myšlenkou této jednoduché metody hledání maximálního toku v dané síti je prostě opakovaně vylepšovat tok podél nalezených nenasycených cest.



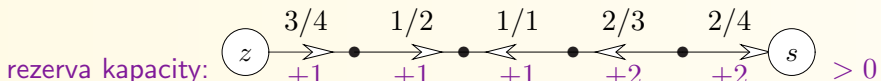
min. rezerva  $r = +1$

↓



## Metoda 6.8. Maximální tok vylepšováním nenasycených cest.

Základní myšlenkou této jednoduché metody hledání maximálního toku v dané síti je prostě opakovaně vylepšovat tok podél nalezených nenasycených cest.



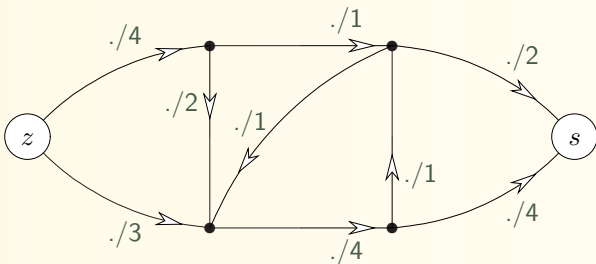
min. rezerva  $r = +1$



Pro rekapitulaci, náš tok se „vylepší“ následovně;

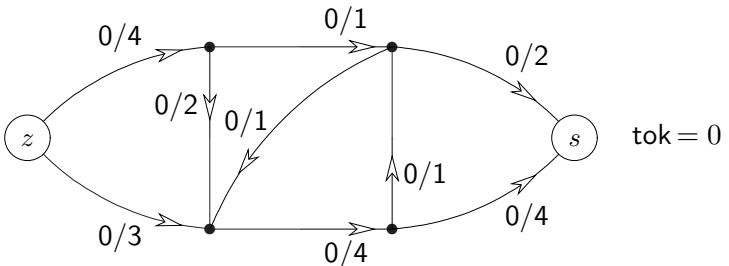
- \* pro hrany  $e_i \in E(P)$  ve směru ze  $z$  do  $s$  zvýšíme tok na  $f'(e_i) = f(e_i) + r$ ,
- \* pro hrany  $e_j \in E(P)$  ve směru ze  $s$  do  $z$  snížíme tok na  $f'(e_j) = f(e_j) - r$ .

Výsledný tok  $f'$  pak bude opět přípustný.



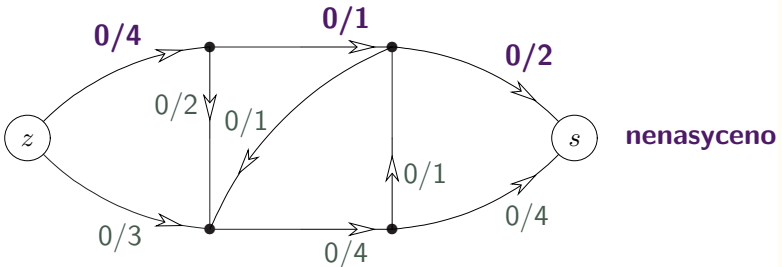
### Algoritmus 6.9. Ford–Fulkersonův pro tok v síti.

- **Vstup:** Síť  $S = (D, z, s, w)$  podle Definice 9.3.
- Tok  $f \leftarrow (0, 0, \dots, 0)$ .
- Dále opakujeme následující:
  - \* Prohledáváním grafu najdeme množinu  $U$  vrcholů  $D$ , do kterých se dostaneme ze  $z$  po nenasycených cestách.
  - \* Pokud  $s \in U$ , nechť  $P$  značí nalezenou nenasycenou cestu v  $S$  ze  $z$  do  $s$ .
    - Zvětšíme tok  $f$  o minimální rezervu kapacity hran v  $P$ .
- Opakujeme kroky výše, dokud nenastane  $s \notin U$ .



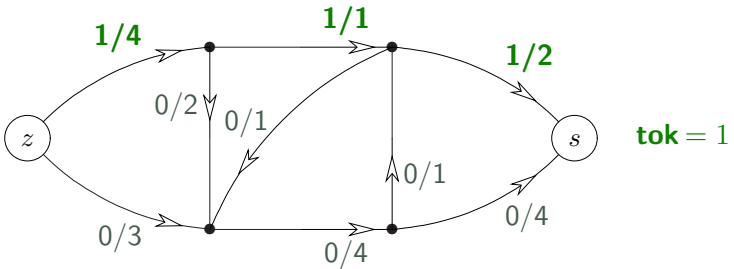
### Algoritmus 6.9. Ford–Fulkersonův pro tok v síti.

- **Vstup:** Síť  $S = (D, z, s, w)$  podle Definice 9.3.
- Tok  $f \leftarrow (0, 0, \dots, 0)$ .
- Dále opakujeme následující:
  - \* Prohledáváním grafu najdeme množinu  $U$  vrcholů  $D$ , do kterých se dostaneme ze  $z$  po nenasycených cestách.
  - \* Pokud  $s \in U$ , nechť  $P$  značí nalezenou nenasycenou cestu v  $S$  ze  $z$  do  $s$ .
    - Zvětšíme tok  $f$  o minimální rezervu kapacity hran v  $P$ .
- Opakujeme kroky výše, dokud nenastane  $s \notin U$ .
- **Výstup:** Vypíšeme maximální tok  $f$  a také minimální řez jako množinu všech hran vedoucích z  $U$  do  $V(D) - U$ .



### Algoritmus 6.9. Ford–Fulkersonův pro tok v síti.

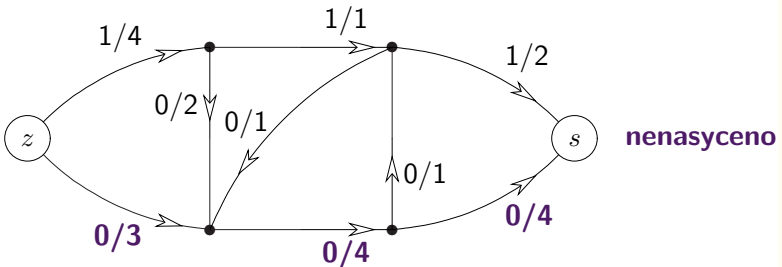
- **Vstup:** Síť  $S = (D, z, s, w)$  podle Definice 9.3.
- Tok  $f \leftarrow (0, 0, \dots, 0)$ .
- Dále opakujeme následující:
  - \* Prohledáváním grafu najdeme množinu  $U$  vrcholů  $D$ , do kterých se dostaneme ze  $z$  po nenasycených cestách.
  - \* Pokud  $s \in U$ , nechť  $P$  značí nalezenou nenasycenou cestu v  $S$  ze  $z$  do  $s$ .
    - Zvětšíme tok  $f$  o minimální rezervu kapacity hran v  $P$ .
- Opakujeme kroky výše, dokud nenastane  $s \notin U$ .
- **Výstup:** Vypíšeme maximální tok  $f$  a také minimální řez jako množinu všech hran vedoucích z  $U$  do  $V(D) - U$ .



**tok = 1**

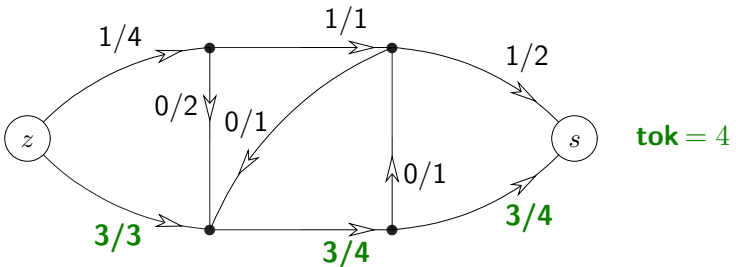
### Algoritmus 6.9. Ford–Fulkersonův pro tok v síti.

- **Vstup:** Síť  $S = (D, z, s, w)$  podle Definice 9.3.
- Tok  $f \leftarrow (0, 0, \dots, 0)$ .
- Dále opakujeme následující:
  - \* Prohledáváním grafu najdeme množinu  $U$  vrcholů  $D$ , do kterých se dostaneme ze  $z$  po nenasycených cestách.
  - \* Pokud  $s \in U$ , nechť  $P$  značí nalezenou nenasycenou cestu v  $S$  ze  $z$  do  $s$ .
    - Zvětšíme tok  $f$  o minimální rezervu kapacity hran v  $P$ .
- Opakujeme kroky výše, dokud nenastane  $s \notin U$ .
- **Výstup:** Vypíšeme maximální tok  $f$  a také minimální řez jako množinu všech hran vedoucích z  $U$  do  $V(D) - U$ .



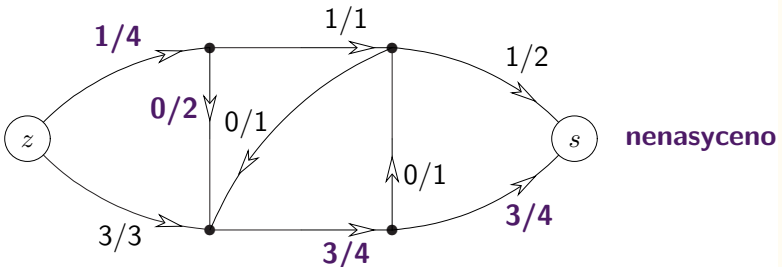
### Algoritmus 6.9. Ford–Fulkersonův pro tok v síti.

- **Vstup:** Síť  $S = (D, z, s, w)$  podle Definice 9.3.
- Tok  $f \leftarrow (0, 0, \dots, 0)$ .
- Dále opakujeme následující:
  - \* Prohledáváním grafu najdeme množinu  $U$  vrcholů  $D$ , do kterých se dostaneme ze  $z$  po nenasycených cestách.
  - \* Pokud  $s \in U$ , nechť  $P$  značí nalezenou nenasycenou cestu v  $S$  ze  $z$  do  $s$ .
    - Zvětšíme tok  $f$  o minimální rezervu kapacity hran v  $P$ .
- Opakujeme kroky výše, dokud nenastane  $s \notin U$ .
- **Výstup:** Vypíšeme maximální tok  $f$  a také minimální řez jako množinu všech hran vedoucích z  $U$  do  $V(D) - U$ .



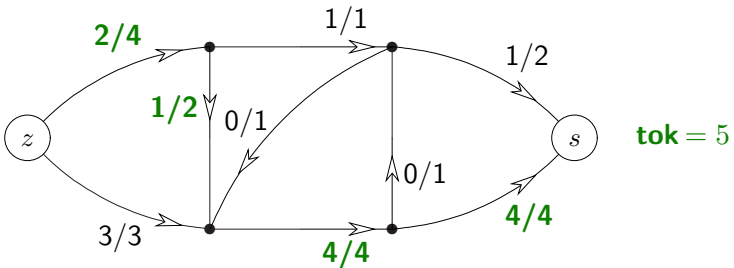
### Algoritmus 6.9. Ford–Fulkersonův pro tok v síti.

- **Vstup:** Síť  $S = (D, z, s, w)$  podle Definice 9.3.
- Tok  $f \leftarrow (0, 0, \dots, 0)$ .
- Dále opakujeme následující:
  - \* Prohledáváním grafu najdeme množinu  $U$  vrcholů  $D$ , do kterých se dostaneme ze  $z$  po nenasycených cestách.
  - \* Pokud  $s \in U$ , nechť  $P$  značí nalezenou nenasycenou cestu v  $S$  ze  $z$  do  $s$ .
    - Zvětšíme tok  $f$  o minimální rezervu kapacity hran v  $P$ .
- Opakujeme kroky výše, dokud nenastane  $s \notin U$ .
- **Výstup:** Vypíšeme maximální tok  $f$  a také minimální řez jako množinu všech hran vedoucích z  $U$  do  $V(D) - U$ .



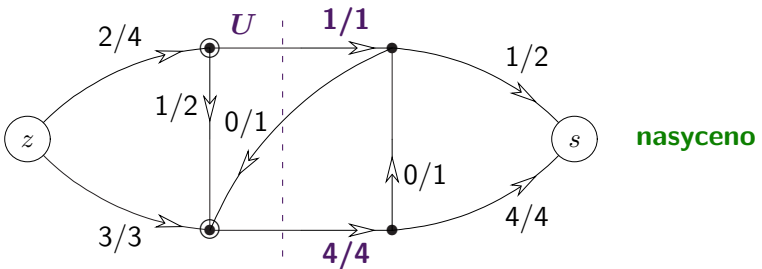
### Algoritmus 6.9. Ford–Fulkersonův pro tok v síti.

- **Vstup:** Síť  $S = (D, z, s, w)$  podle Definice 9.3.
- Tok  $f \leftarrow (0, 0, \dots, 0)$ .
- Dále opakujeme následující:
  - \* Prohledáváním grafu najdeme množinu  $U$  vrcholů  $D$ , do kterých se dostaneme ze  $z$  po nenasycených cestách.
  - \* Pokud  $s \in U$ , nechť  $P$  značí nalezenou nenasycenou cestu v  $S$  ze  $z$  do  $s$ .
    - Zvětšíme tok  $f$  o minimální rezervu kapacity hran v  $P$ .
- Opakujeme kroky výše, dokud nenastane  $s \notin U$ .
- **Výstup:** Vypíšeme maximální tok  $f$  a také minimální řez jako množinu všech hran vedoucích z  $U$  do  $V(D) - U$ .



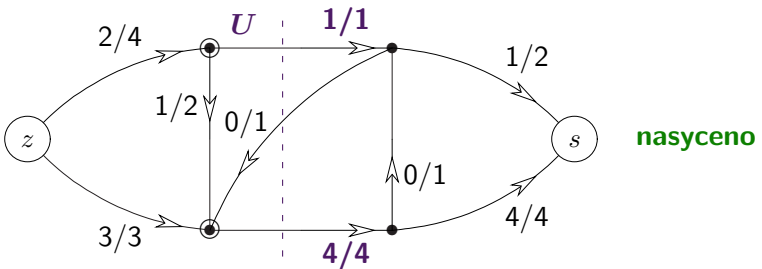
### Algoritmus 6.9. Ford–Fulkersonův pro tok v síti.

- **Vstup:** Síť  $S = (D, z, s, w)$  podle Definice 9.3.
- Tok  $f \leftarrow (0, 0, \dots, 0)$ .
- Dále opakujeme následující:
  - \* Prohledáváním grafu najdeme množinu  $U$  vrcholů  $D$ , do kterých se dostaneme ze  $z$  po nenasycených cestách.
  - \* Pokud  $s \in U$ , nechť  $P$  značí nalezenou nenasycenou cestu v  $S$  ze  $z$  do  $s$ .
    - Zvětšíme tok  $f$  o minimální rezervu kapacity hran v  $P$ .
- Opakujeme kroky výše, dokud nenastane  $s \notin U$ .
- **Výstup:** Vypíšeme maximální tok  $f$  a také minimální řez jako množinu všech hran vedoucích z  $U$  do  $V(D) - U$ .



### Algoritmus 6.9. Ford–Fulkersonův pro tok v síti.

- **Vstup:** Síť  $S = (D, z, s, w)$  podle Definice 9.3.
- Tok  $f \leftarrow (0, 0, \dots, 0)$ .
- Dále opakujeme následující:
  - \* Prohledáváním grafu najdeme množinu  $U$  vrcholů  $D$ , do kterých se dostaneme ze  $z$  po nenasycených cestách.
  - \* Pokud  $s \in U$ , nechť  $P$  značí nalezenou nenasycenou cestu v  $S$  ze  $z$  do  $s$ .
    - Zvětšíme tok  $f$  o minimální rezervu kapacity hran v  $P$ .
- Opakujeme kroky výše, dokud nenastane  $s \notin U$ .
- **Výstup:** Vypíšeme maximální tok  $f$  a také minimální řez jako množinu všech hran vedoucích z  $U$  do  $V(D) - U$ .



### Algoritmus 6.9. Ford–Fulkersonův pro tok v síti.

- **Vstup:** Síť  $S = (D, z, s, w)$  podle Definice 9.3.
- Tok  $f \leftarrow (0, 0, \dots, 0)$ .
- Dále opakujeme následující:
  - \* Prohledáváním grafu najdeme množinu  $U$  vrcholů  $D$ , do kterých se dostaneme ze  $z$  po nenasycených cestách.
  - \* Pokud  $s \in U$ , nechť  $P$  značí nalezenou nenasycenou cestu v  $S$  ze  $z$  do  $s$ .
    - Zvětšíme tok  $f$  o minimální rezervu kapacity hran v  $P$ .
- Opakujeme kroky výše, dokud nenastane  $s \notin U$ .
- **Výstup:** Vypíšeme maximální tok  $f$  a také minimální řez jako množinu všech hran vedoucích z  $U$  do  $V(D) - U$ .

## Důkaz správnosti Algoritmu 9.9:

Pro každý tok  $f$  a každý řez  $X$  v síti  $S$  platí  $\|f\| \leq \|X\|$ . Jestliže po zastavení algoritmu s tokem  $f$  nalezneme v síti  $S$  řez o stejně velikosti  $\|X\| = \|f\|$ , je jasné, že jsme našli maximální možný tok v síti  $S$ .

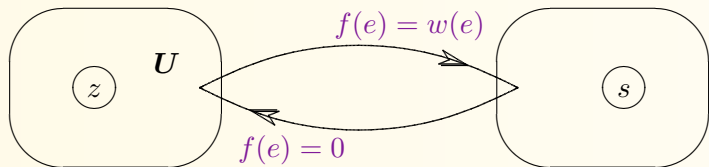
(Pozor, **zastavení** algoritmu jsme zatím nezdůvodnili.)

## Důkaz správnosti Algoritmu 9.9:

Pro každý tok  $f$  a každý řez  $X$  v síti  $S$  platí  $\|f\| \leq \|X\|$ . Jestliže po zastavení algoritmu s tokem  $f$  nalezneme v síti  $S$  řez o stejně velikosti  $\|X\| = \|f\|$ , je jasné, že jsme našli maximální možný tok v síti  $S$ .

(Pozor, **zastavení** algoritmu jsme zatím nezdůvodnili.)

Takže dokažme, že po zastavení algoritmu nastane rovnost  $\|f\| = \|X\|$ , kde  $X$  je vypsaný řez mezi  $U$  a zbytkem grafu  $D$ . Vezměme tok  $f$  v  $S$  bez nenasycené cesty ze  $z$  do  $s$ . Pak množina  $U$  z algoritmu neobsahuje  $s$ .

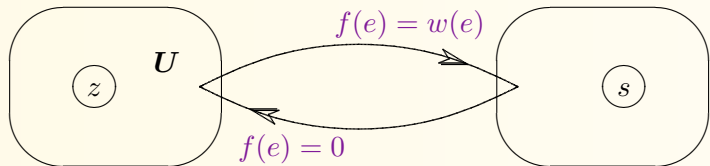


## Důkaz správnosti Algoritmu 9.9:

Pro každý tok  $f$  a každý řez  $X$  v síti  $S$  platí  $\|f\| \leq \|X\|$ . Jestliže po zastavení algoritmu s tokem  $f$  nalezneme v síti  $S$  řez o stejně velikosti  $\|X\| = \|f\|$ , je jasné, že jsme našli maximální možný tok v síti  $S$ .

(Pozor, zastavení algoritmu jsme zatím nezdůvodnili.)

Takže dokažme, že po zastavení algoritmu nastane rovnost  $\|f\| = \|X\|$ , kde  $X$  je vypsaný řez mezi  $U$  a zbytkem grafu  $D$ . Vezměme tok  $f$  v  $S$  bez nenasycené cesty ze  $z$  do  $s$ . Pak množina  $U$  z algoritmu neobsahuje  $s$ .



Nyní má každá hrana  $e \leftarrow U$  (odch. z  $U$ ) plný tok  $f(e) = w(e)$  a každá hrana  $e \rightarrow U$  (přich. do  $U$ ) tok  $f(e) = 0$ , takže

$$\|f\| = \sum_{e \leftarrow U} f(e) - \sum_{e \rightarrow U} f(e) = \sum_{e \leftarrow U} f(e) = \sum_{e \in X} w(e) = \|X\| .$$



## Důsledky Ford–Fulkersonova algoritmu

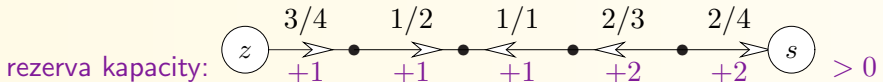
Z důkazu Algoritmu 9.9 pak odvodíme několik zajímavých faktů:

- Pokud Algoritmus 9.9 vždy skončí, dokážeme tím i platnost Věty 9.7.

## Důsledky Ford–Fulkersonova algoritmu

Z důkazu Algoritmu 9.9 pak odvodíme několik zajímavých faktů:

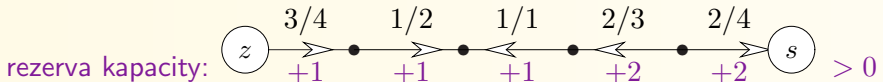
- Pokud Algoritmus 9.9 vždy skončí, dokážeme tím i platnost Věty 9.7.
- Pro celočíselné kapacity hran sítě  $S$  Algoritmus 9.9 vždy skončí.



## Důsledky Ford–Fulkersonova algoritmu

Z důkazu Algoritmu 9.9 pak odvodíme několik zajímavých faktů:

- Pokud Algoritmus 9.9 vždy skončí, dokážeme tím i platnost Věty 9.7.
  - Pro celočíselné kapacity hran sítě  $S$  Algoritmus 9.9 vždy skončí.

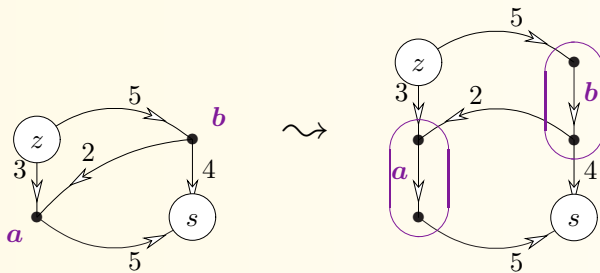


- Pokud jsou kapacity hran sítě  $S$  celočíselné, opt. tok také vyjde celočíselně.

## 6.4 Zobecněné použití sítí

- **Sítě s kapacitami vrcholů:**

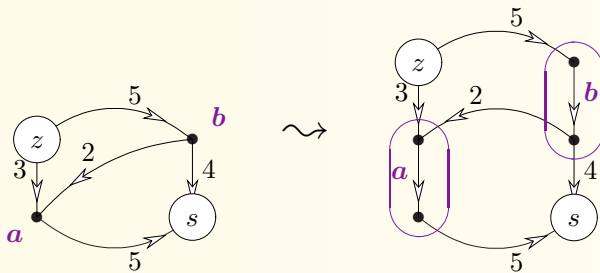
U sítě můžeme zadat *kapacity vrcholů*, neboli kapacitní váhová funkce je dána jako  $w : E(D) \cup V(D) \rightarrow \mathbb{R}^+$ .



## 6.4 Zobecněné použití sítí

- **Sítě s kapacitami vrcholů:**

U sítě můžeme zadat *kapacity vrcholů*, neboli kapacitní váhová funkce je dána jako  $w : E(D) \cup V(D) \rightarrow \mathbb{R}^+$ .



- **Sítě s dolními kapacitami:**

Pro hrany sítě lze zadat také jejich *minimální kapacity*, tedy dolní meze přípustného toku, jako váhovou funkci  $\ell : E(D) \rightarrow \mathbb{R}_0^+$ .

$$\ell(e) \leq f(e) \leq w(e)$$

## Bipartitní párování

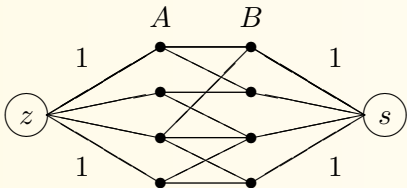
**Definice:** *Párování* v (nyní bipartitním) grafu  $G$  je podmnožina hran  $M \subset E(G)$  taková, že žádné dvě hrany z  $M$  nesdílejí koncový vrchol.

## Bipartitní párování

**Definice:** *Párování* v (nyní bipartitním) grafu  $G$  je podmnožina hran  $M \subset E(G)$  taková, že žádné dvě hrany z  $M$  nesdílejí koncový vrchol.

### Metoda 6.11. Nalezení bipartitního párování

Pro daný bipartitní graf  $G$  s vrcholy rozdělenými do množin  $A, B$  sestrojíme síť  $S$  následovně:

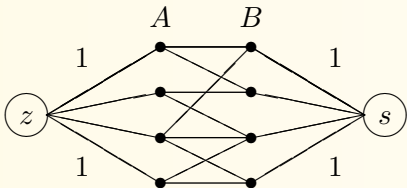


## Bipartitní párování

**Definice:** *Párování* v (nyní bipartitním) grafu  $G$  je podmnožina hran  $M \subset E(G)$  taková, že žádné dvě hrany z  $M$  nesdílejí koncový vrchol.

### Metoda 6.11. Nalezení bipartitního párování

Pro daný bipartitní graf  $G$  s vrcholy rozdělenými do množin  $A, B$  sestrojíme síť  $S$  následovně:



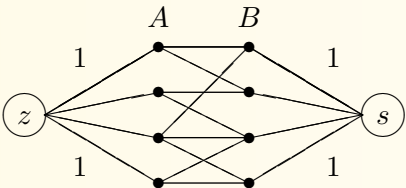
- Hrany sítě  $S$  orientujeme od zdroje do stoku a přiřadíme jím kapacity 1.

## Bipartitní párování

**Definice:** *Párování* v (nyní bipartitním) grafu  $G$  je podmnožina hran  $M \subset E(G)$  taková, že žádné dvě hrany z  $M$  nesdílejí koncový vrchol.

### Metoda 6.11. Nalezení bipartitního párování

Pro daný bipartitní graf  $G$  s vrcholy rozdělenými do množin  $A, B$  sestrojíme síť  $S$  následovně:



- Hrany sítě  $S$  orientujeme od zdroje do stoku a přiřadíme jím kapacity 1.
- Nyní najdeme (celočíselný) maximální tok v  $S$  Algoritmem 9.9.  
Do párování vložíme ty hrany grafu  $G$ , které mají nenulový tok.

## Výběr různých reprezentantů

**Definice:** Nechť  $M_1, M_2, \dots, M_k$  jsou neprázdné množiny. *Systémem různých reprezentantů* množin  $M_1, M_2, \dots, M_k$  nazýváme takovou posloupnost různých prvků  $(x_1, x_2, \dots, x_k)$ , že  $x_i \in M_i$  pro  $i = 1, 2, \dots, k$ .

## Výběr různých reprezentantů

**Definice:** Nechť  $M_1, M_2, \dots, M_k$  jsou neprázdné množiny. *Systémem různých reprezentantů* množin  $M_1, M_2, \dots, M_k$  nazýváme takovou posloupnost různých prvků  $(x_1, x_2, \dots, x_k)$ , že  $x_i \in M_i$  pro  $i = 1, 2, \dots, k$ .

**Věta 6.12.** (Hall) Nechť  $M_1, M_2, \dots, M_k$  jsou neprázdné množiny. Pro tyto množiny existuje systém různých reprezentantů, právě když platí

$$\forall J \subset \{1, 2, \dots, k\} : \left| \bigcup_{j \in J} M_j \right| \geq |J|,$$

neboli pokud sjednocení libovolné skupiny z těchto množin má alespoň kolik množin je sjednoceno.

Důkaz lze podat konstrukcí vhodné sítě podobné té v Metodě 9.11:

## Výběr různých reprezentantů

**Definice:** Nechť  $M_1, M_2, \dots, M_k$  jsou neprázdné množiny. *Systémem různých reprezentantů* množin  $M_1, M_2, \dots, M_k$  nazýváme takovou posloupnost různých prvků  $(x_1, x_2, \dots, x_k)$ , že  $x_i \in M_i$  pro  $i = 1, 2, \dots, k$ .

**Věta 6.12.** (Hall) Nechť  $M_1, M_2, \dots, M_k$  jsou neprázdné množiny. Pro tyto množiny existuje systém různých reprezentantů, právě když platí

$$\forall J \subset \{1, 2, \dots, k\} : \left| \bigcup_{j \in J} M_j \right| \geq |J|,$$

neboli pokud sjednocení libovolné skupiny z těchto množin má alespoň kolik množin je sjednoceno.

Důkaz lze podat konstrukcí vhodné sítě podobné té v Metodě 9.11:

- Použijí se speciální vrcholy  $u$  a  $v$  odpovídající zdroji a stoku;
- další vrcholy reprezentují (zleva) množiny a (vpravo) prvky naší úlohy a

## Výběr různých reprezentantů

**Definice:** Nechť  $M_1, M_2, \dots, M_k$  jsou neprázdné množiny. *Systémem různých reprezentantů* množin  $M_1, M_2, \dots, M_k$  nazýváme takovou posloupnost různých prvků  $(x_1, x_2, \dots, x_k)$ , že  $x_i \in M_i$  pro  $i = 1, 2, \dots, k$ .

**Věta 6.12.** (Hall) Nechť  $M_1, M_2, \dots, M_k$  jsou neprázdné množiny. Pro tyto množiny existuje systém různých reprezentantů, právě když platí

$$\forall J \subset \{1, 2, \dots, k\} : \left| \bigcup_{j \in J} M_j \right| \geq |J|,$$

neboli pokud sjednocení libovolné skupiny z těchto množin má alespoň kolik množin je sjednoceno.

Důkaz lze podat konstrukcí vhodné sítě podobné té v Metodě 9.11:

- Použijí se speciální vrcholy  $u$  a  $v$  odpovídající zdroji a stoku;
- další vrcholy reprezentují (zleva) množiny a (vpravo) prvky naší úlohy a
- ostatní hrany mimo zdrojové a stokové (kapacity 1) vždy spojují množinu  $M_j$  se všemi jejími prvky  $x_i$ . □